

مجله علمی پژوهشی مخاطرات محیط طبیعی، دوره دهم، شماره ۲۹، پاییز ۱۴۰۰

تاریخ دریافت مقاله: ۱۳۹۹/۰۱/۱۱

تاریخ بازنگری نهایی مقاله: ۱۳۹۹/۰۵/۱۹

تاریخ پذیرش مقاله: ۱۳۹۹/۰۸/۲۴

صفحات: - ۱۰۷

مقاله (علمی پژوهشی)

بررسی و پنهان‌بندی تأثیرپذیری آب رودخانه کر از آلودگی ناشی از صنایع مجاور

مرضیه مکرم^۱، سعید نگهبان^{۲*}، حبیله شیخی^۳

۱. دانشیار ژئومورفولوژی بخش مرتع و آبخیزداری دانشکده کشاورزی و منابع طبیعی داراب، دانشگاه شیراز

۲. استادیار ژئومورفولوژی بخش چگرانی؛ دانشکده اقتصاد، مدیریت و علوم اجتماعی، دانشگاه شیراز

۳. کارشناس ارشد ژئوهیدرولوژی، بخش زمین‌شناسی، دانشکده علوم، دانشگاه شیراز

چکیده

آلودگی آب همواره یکی از مسائل و مشکلات محیط زیستی در سراسر کره زمین محسوب می‌شود. در بین آبهای موجود در سطح و زیر زمین، آبهای جاری و رودخانه‌ها به‌دلیل عبور از مناطق مختلف، همواره در معرض آلودگی بیشتری مجاور آن دارند. هدف از این مطالعه، بررسی کیفیت آب رودخانه کر در جنوب ایران و تعیین منشأ آلودگی آن توسط کارخانه‌های مختلف مجاور آن می‌باشد. نمونه‌برداری در سال ۲۰۱۶ بر روی ۱۴ پارامتر فیزیکی و شیمیایی در ۳ ماه دسامبر، آپریل و سپتامبر در ۲۹ ایستگاه انجام شد. به کمک تجزیه مؤلفه‌های اصلی (PCA) مهمترین پارامترهای تأثیرگذار بر روی آلودگی آب و به کمک شاخص کیفیت آب (WQI) و شاخص ارزیابی فلزهای سنگین (HEI) وضعیت آلودگی هر یک از ایستگاه‌ها با توجه به حدود مجاز عناصر در آب رودخانه مشخص شد و درنهایت با استفاده از روش کریجینیگ وضعیت پراکنش مکانی عناصر در کارخانه‌های مجاور بررسی شد. نتایج حاصل از اندازه‌گیری‌ها با استفاده از تجزیه مؤلفه‌های اصلی (PCA) نشان داد که ۱۳PCA مؤلفه را معرفی می‌کند. نتایج شاخص WQI نشان داد که میانگین کمترین مقدار این شاخص در ایستگاه ۱۷ با متوسط 9 ± 5 / با وضعیت غیرقابل آشامیدن از نظر کیفیت و بالاترین مقدار شاخص در ایستگاه ۶ با متوسط $87/3 \pm 2$ با وضعیت خوب برای آشامیدن مشاهده شد. نتایج حاصل از HEI نشان داد که ایستگاه ۱۶ و ۱۷ دارای بیشترین مقادیر شاخص HEI هستند که نشان‌دهنده آلوده‌ترین ایستگاه‌ها می‌باشند. نتایج حاصل از شاخص HEI نشان داد که مقادیر کادمیوم و آرسنیک، نسبت به دیگر عناصر، دارای مقادیر خیلی بیشتری نسبت به حد مجاز در آب آشامیدنی است. درنهایت، نتایج حاصل از نقشه‌های پنهان‌بندی فلزهای سنگین با استفاده از روش کریجینگ، نشان داد که بیشترین تجمع غلظت مربوط به قسمت‌های مرکز و جنوب در مجاورت کارخانه‌های منطقه موردمطالعه می‌باشد.

واژگان کلیدی: آلودگی آب، تجزیه مؤلفه‌های اصلی، شاخص WQI، کیفیت آب و عناصر سنگین.

مقدمه

آلودگی آب به فلزهای سنگین یکی از نگرانی‌ها برای سلامت انسان می‌باشد (شاها^۱ و پایول^۲، ۲۰۱۹). این عناصر به عنوان آلاینده وارد اکوسیستم می‌شوند که بسیار پایدار بوده و تجزیه نمی‌شوند (بورگیس^۳، ۲۰۱۵). این آلایندها وارد اکوسیستم آبی می‌شوند و باعث آلودگی آب‌های سطحی و زیرزمینی و بر هم زدن اکوسیستم می‌شوند. امروزه با افزایش نیاز به مصرف آب، کاهش ذخایر آب‌های طبیعی، آلودگی‌های محیط زیستی و افزایش نیاز آبی فعالیت‌های انسانی باعث شده تا ارزیابی کیفیت منابع آب از موضوع‌های مهم در سال‌های اخیر محسوب گردد. در این شرایط پایش تغییرات کیفی آب به خصوص آب‌های آشامیدنی در زمان‌های منظم ضروری بهنظر می‌رسد (هوس^۴ و الیس^۵، ۱۹۸۷).

این مسأله در مناطق خشک و نیمه‌خشک که بارش‌ها نامنظم، موقت همراه با نرخ بالای تبخیر است، بیشتر مشخص می‌باشد (اندراد^۶ و همکاران، ۲۰۱۰ و باقیاند^۷ و همکاران، ۲۰۱۰). رشد صنایع و رهاسازی فاضلاب‌های ناشی از آن، کاربرد گسترده کودها و آفت‌کش‌های شیمیایی در بخش کشاورزی نگرانی‌های جدی درباره کیفیت آب ایجاد کرده است (واروس^۸ و داوراز^۹، ۲۰۱۵). به طور کلی تغییرات نزولی کیفیت آب تهدیدی برای سلامت انسان، توسعه اقتصادی و رفاه اجتماعی به شمار می‌آید (میلووانوویس^{۱۰}، ۲۰۰۷). با توجه به محدودیت آب‌های قابل مصرف برای آشامیدن و نیاز روزافزون بشر به منابع آبی، نظارت بر کیفیت آب در دسترس بیش از پیش اهمیت پیدا می‌کند (پال^{۱۱}، ۲۰۱۳).

برای تعیین کیفیت آب‌ها و مناسب‌بودن آن برای آشامیدن، می‌توان از شاخص کیفیت آب (WQI^{۱۲}) استفاده نمود. میزان WQI برای کیفیت آب در یک محدوده صفر تا ۱۰۰ می‌باشد که ۱۰۰ بالاترین کیفیت آب را دارد (سانچیز^{۱۳} و همکاران، ۲۰۰۷). این شاخص برای فهم موضوع‌های کیفی آب توسط یکپارچه‌سازی داده‌های پیچیده و ایجاد یک عدد که پیکره کلی کیفیت آب را توصیف می‌کند، بکار می‌رود (بهارگاوا^{۱۴}، ۱۹۸۳). از خصوصیت‌های این شاخص قابلیت فهم ساده و آسان برای مدیران و تعیین شرایط استفاده از یک منبع آب برای آشامیدن می‌باشد (را^{۱۵} و ادموندس^{۱۶}، ۲۰۰۲).

در مطالعه راماکریشنایا و همکاران شاخص کیفیت آب برای آب‌های واقع در کشور هند مورد مطالعه قرار گرفت و جهت تعیین این شاخص از ۱۲ پارامتر pH، سختی، کلسیم، منزیم، بی‌کربنات، کلراید، نیترات، سولفات، کل مواد محلول، آهن، منگنز و فلوراید استفاده شد (ramaکریشنایا^{۱۷}، ۱۷۰۹).

-
- 1- Saha
 - 2- Paul
 - 3- Burgess
 - 4- House
 - 5- Ellis
 - 6- Andrade
 - 7- Baghvand
 - 8- Varol
 - 9- Davraz
 - 10- Milovanovic
 - 11- Pal
 - 12- Water Quality Index
 - 13- Sánchez
 - 14- Bhargava
 - 15- Rao
 - 16- Edmunds
 - ^۱ Ramakrishnaiah

یکی از روش‌ها در بررسی کیفیت منابع آب و تحلیل‌های زیستمحیطی و کنترل متغیرهای کیفی جهت تعیین برنامه‌های مدیریت پایش کیفی رودخانه‌ها، روش‌های آماری چندمتغیره می‌باشد که در سال‌های اخیر به طور گسترده‌ای مورداستفاده قرار می‌گیرد (سینق^۱ و همکاران، ۲۰۰۵، شریستاها^۲ و کاضاما^۳، ۲۰۰۷، استیل^۴ و همکاران، ۲۰۰۶).

اخیراً، در تحلیل داده‌های کیفی آب، استفاده از تجزیه مؤلفه‌های اصلی (PCA) برای کاهش تعداد متغیرها و تفسیر بهتر نتایج به دست آمده از آنها توسعه یافته است (ایوانگ، ۲۰۰۵). استفاده از این روش محققان را در شناسایی مهمترین فاکتورهای اثرگذار بر کیفیت سیستم‌های آبی یاری نموده و ابزار با ارزشی برای مدیریت مطمئن آب محسوب می‌گردد (ادامس^۵ و همکاران، ۲۰۰۱، وگا^۶ و همکاران، ۱۹۹۸، سینق و همکاران، ۲۰۰۵).

سینق و همکاران (۲۰۰۵) در تحقیق خود تحت عنوان فن‌های آماری چندمتغیره برای ارزیابی متغیرهای زمانی و مکانی در کیفیت آب، با استفاده از ۲۴ پارامتر، آب رودخانه گمتو^۷ را به سه منطقه با آلودگی کم، متوسط و زیاد دسته‌بندی نمودند و شش ۷۱٪ EC، Cl-, K, Na, pH, DO, BOD, COD, Ca, Mg, TSS و شش بیشترین اثر در اول مؤلفه تغییرات بین ایستگاه‌ها را توجیه نمودند. سینق و همکاران (۲۰۰۵) بیان نمودند که برای کاهش تعداد پارامترهای پایش کیفی آب همراه با دستیابی به اطلاعات دقیق وضع کیفی آب رودخانه‌ها استفاده از روش‌های آماری نتایج مطلوبی را ارائه می‌نماید.

شریستا^۸ و همکاران (۲۰۰۷) نیز در انجام تحقیق خود تحت عنوان ارزیابی کیفیت آب سطحی با استفاده از روش‌های آماری چند متغیره در رودخانه فوجی^۹ زاپن، رودخانه موردمطالعه را به سه منطقه با آلودگی کم، متوسط و زیاد دسته‌بندی نمودند. بالاترین تأثیر در این گروه‌بندی را پارامترهایی مانند pH, BOD، شوری، نیترات و آمونیوم عهده‌دار بودند.

نتایج مطالعه بیاسشگلو^{۱۰} (۲۰۰۷) برای ارزیابی منابع آلاینده آب رودخانه تاہتالی در ترکیه نشان داد که روش‌های آماری چندمتغیره می‌توانند برای کاهش تعداد پارامترها و ایستگاه‌های پایش و پیش‌بینی کیفیت آب‌های سطحی مورداستفاده قرار گیرد. در این تحقیق با استفاده از پارامترهای COD, DO, BOD، کلر، سختی کل، سدیم، نیترات، سولفات و کل فسفات رودخانه در دو گروه با آلودگی کم و آلودگی زیاد دسته‌بندی گردید که در گروه با آلودگی زیاد بیشترین تأثیر مربوط به پارامترهای سختی کل، کلر و سدیم بود. همچنین در تجزیه مؤلفه‌های اصلی دو مؤلفه اول ۵۴ درصد تغییرات را عهده‌دار بودند.

2- Singh
3- Shrestha
4- Kazama
5- Astel
6- Adams
7- Vega
8- Gomti
9- Shrestha
10- Fuji
11- Boyacioglu

تأثیر فلزهای سنگین در اراضی شهری بر روی کیفیت آب رودخانه توسط ویجیسیری^۱ و همکاران (۲۰۱۹) در چین بررسی شد. نتایج نشان داد که رفتار فلزهای مختلف بر روی آب و رسوبات بستگی به مسیر اصلی حمل فلزها، نوع فلز و دوری و نزدیکی به منبع آلودگی دارد.

بررسی منابع آلودگی آب رودخانه کیانتانگ^۲ در چین توسط هوانگ^۳ و همکاران (۲۰۰۹) در چین با استفاده از روش‌های زمین آمار بررسی شد. نتایج نشان داد که بیشتر آلودگی رودخانه‌ها در سرشاخه‌های فرعی رخ می‌دهد؛ در حالی که سرشاخه‌های اصلی دارای آلودگی کمتری هستند. آلودگی صنعتی، فعالیت‌های کشاورزی و رواناب شهری منجر به آلودگی رودخانه‌ها در شاخه‌های فرعی منطقه گردیده است. در این مطالعه مشخص شد که با دانستن آلودگی بیشتر در سرشاخه‌های فرعی نسبت به سرشاخه‌های اصلی باید تدبیر متفاوتی را برای کنترل آلودگی اتخاذ نمود.

بنابراین، تعیین کیفیت آب در مناطق مختلف از جمله مناطق خشک و نیمه‌خشک مهم می‌باشد. در مناطق خشک و نیمه‌خشک گرمسیری مثل ایران که رودخانه‌ها تنها در فصول سرد و پر بارش سال جاری می‌شوند، تنها منابع آب جهت مصارف مختلف (آشامیدن، صنعت، کشاورزی و غیره) می‌باشند (هاففار^۴ و همکاران، ۲۰۱۰). هنگامی که یک آلاینده خطروناک شیمیایی و یا مواد آلی توسط واحدهای خانگی، صنعتی یا کشاورزی به یک رودخانه وارد گردد، اثرهای زیان‌آوری بر کیفیت آب پایین‌دست آن خواهد داشت. بنابراین مطالعه‌ای جامع در طول کل رودخانه و منابع آلوده‌کننده آن از اهمیت ویژه‌ای برخوردار می‌باشد.

باتوجه به اینکه رودخانه که به عنوان زمکش اصلی شهرستان مروودشت در استان فارس، جنوب ایران بوده و آب کلیه رودخانه‌ها و مسیلهای موجود در مروودشت را دریافت و از رودخانه‌های مهم داخلی استان فارس می‌باشد، آلودگی آن نه تنها تأثیر محربی بر محیط‌زیست منطقه و حیات آبی‌بیان رودخانه دارد، بلکه به خاطر آبیاری اراضی کشاورزی با این آب‌ها و مصرف گسترده محصولات کشاورزی آلوده به دست آمده از آب این رودخانه‌ها، بررسی کیفیت آب این رودخانه حائز اهمیت می‌باشد. بنابراین به لحاظ اهمیت رودخانه که به عنوان یکی از مهمترین منابع تأمین آب آشامیدنی و کشاورزی منطقه و بهدلیل قرار گرفتن کارخانجات متعدد از جمله کارخانه گوشت، کارخانه چرم، پتروشیمی (تولید آمونیاک، اوره، نیتریک و نیترات آمونیوم)، کارخانه قند، لوازم خانگی، آرد، تولید شیرین‌بیان و همچنین فاضلاب در اطراف آن، تعیین کیفیت آب این رودخانه و تعیین مهمترین منابع آلوده‌کننده آن برای برنامه‌ریزی و کنترل پساب و رساندن آلاینده‌های موجود در آن به حد استاندارد سازمان حفاظت محیط زیست مهم می‌باشد.

بنابراین در این مطالعه با استفاده از روش آماری منابع تولید آلاینده رودخانه که مشخص شد. درواقع در این مطالعه مشخص شد که پساب کدام کارخانه‌های مجاور رودخانه منجر به آلودگی رودخانه می‌شود. حتی در این مطالعه مشخص شد که آلودگی هر یک از فلزهای سنگین مربوط به کدام پساب کارخانه هست که این کار با تهیه نقشه توزیع مکانی هر یک از فلزهای سنگین انجام شد. به طوری که فلزها با حداکثر آلودگی در مجاور هر یک از کارخانه‌ها

1- Wijesiri

2- Qiantang

3- Huang

4- Haffar

نشان دهنده آلودگی آب توسط آن کارخانه می‌باشد. بنابراین به راحتی می‌توان منابع تولید آلاینده رودخانه را مشخص نمود.

داده‌ها و روش‌ها

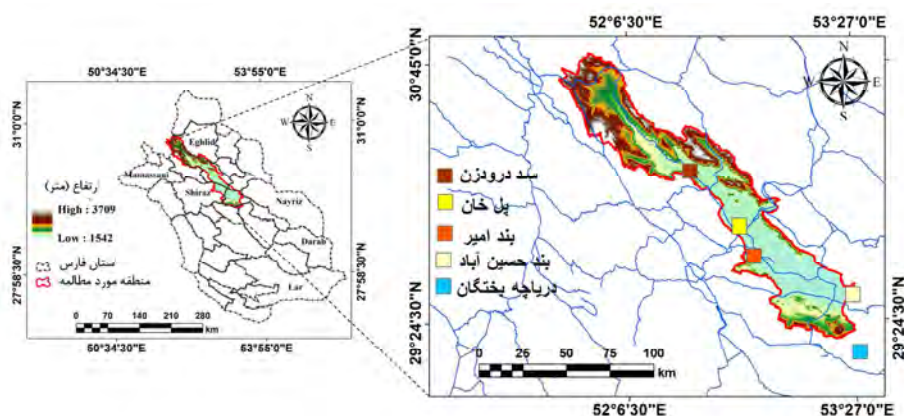
ویژگی منطقه موردمطالعه

منطقه موردمطالعه حوضه آبخیز رودخانه کر واقع در شهرستان مرودشت می‌باشد. منطقه موردمطالعه از نظر موقعیت جغرافیایی در $18^{\circ} 29'$ تا $18^{\circ} 48'$ و $42^{\circ} 30'$ تا $51^{\circ} 24'$ واقع شده است (شکل ۱). مساحت منطقه موردمطالعه $۶۰۳۵/۸۴$ کیلومتر مربع می‌باشد. بیشترین و کمترین ارتفاع در منطقه موردمطالعه به ترتیب ۳۷۰۹ و ۱۵۴۲ متر می‌باشد. حوزه آبخیز موردمطالعه از نظر کشاورزی، شهری، باغات و .. دارای اهمیت فراوانی می‌باشد.

رودخانه کر از شریان‌های حیاتی پرآب دائمی استان فارس است که از شمال غربی استان و از بلندی‌های سلسله-جبال زاگرس سرچشمه گرفته و به سمت جنوب شرقی جریان پیدا می‌کند. طول رودخانه از سرچشمه تا دریاچه بختگان ۲۸۰ کیلومتر است (هاففار و همکاران، ۲۰۱۰). در دهه چهل بر روی این رودخانه سد خاکی درودزن به گنجایش عادی ۹۹۳ میلیون مترمکعب احداث گردیده است. رودخانه بعد از سد در منطقه رامجرد جریان یافته و پس از پیوستن رودخانه مائین به آن با گذشتن حاشیه شهر مرودشت و یکی‌شدن با رودخانه سیوند در محل پل خان به سوی بند امیر پیش رفته و درنهایت به بختگان می‌ریزد.

رودخانه کر در ابتدای مسیر و سرشاخه‌ها دارای پهنانی کم، بستر سنگی و گاه شنی و شیب تند است. در بعضی از شاخه‌های فرعی به علت کم شدن شیب، عرض بستر زیاد شده و گاه به ۷۰ متر می‌رسد. ولی در مجموع پهنانی متوسط شاخه اصلی در بالادست سد درودزن حدود ۳۵ تا ۴۰ متر است. در فاصله بعد از سد تا بند امیر شیب بستر ملایم و رودخانه از اراضی هموار عبور می‌کند، بنابراین سرعت آب کم می‌باشد. بعد از پل خان به علت برداشت زیاد آب جهت آبیاری و تغییر مقطع، پهنانی رودخانه حداکثر به ۳۰ متر می‌رسد. ترکیب دانه‌بندی بستر بعد از سد، از ماسه نرم

شروع و بتدریج رسی می‌شود

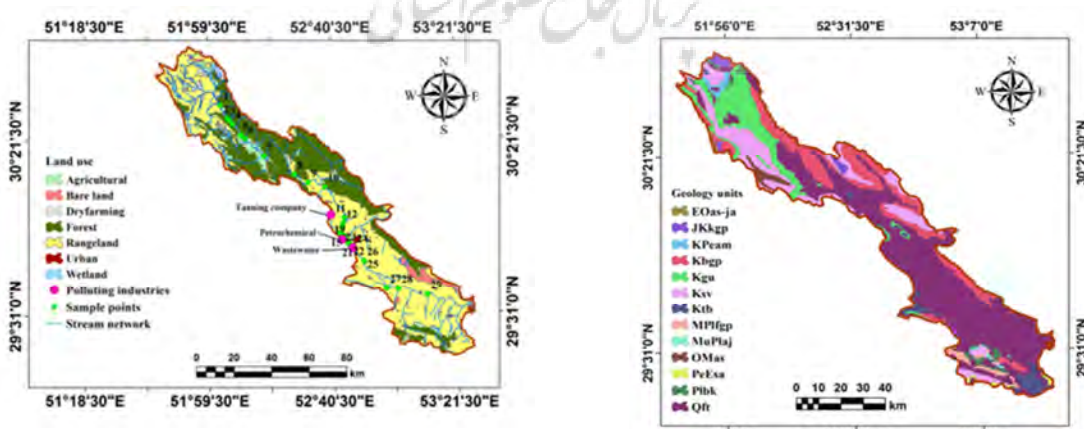


شکل ۱: موقعیت منطقه موردمطالعه

بارش سالانه محدوده موردمطالعه از حداقل ۳۰۰ میلی‌متر در جنوب شرق محدوده تا بیش از ۸۰۰ میلی‌متر در مناطق کوهستانی متغیر می‌باشد و متوسط وزنی بارش ۴۰۰ میلی‌متر در سال است (شرکت آب منطقه‌ای استان فارس، ایستگاه هواشناسی ۱۳۸۱ تا ۱۳۹۰). دمای متوسط سالانه حدود ۱۶ درجه سانتی‌گراد است. همچنین میزان تبخیر متوسط سالانه ۲۲۵۲ میلی‌متر می‌باشد.

کارخانه‌های فعال در اطراف رودخانه کارخانه پتروشیمی، قند، آزمایش، آرد، ریشمک، گوشت و چرمینه می‌باشد که سالانه مقادیر خیلی زیادی از پساب این کارخانه‌ها وارد رودخانه شده و منجر به آلودگی آب این رودخانه شده است. همچنین فاضلاب‌های شهری و روستایی وارد این رودخانه می‌شود که میزان آلودگی در این رودخانه را افزایش داده است.

محدوده موردمطالعه به لحاظ زمین‌شناسی شامل دو بخش کربناته و غیر کربناته می‌باشد. سنگ‌های کربناته ۴۰ درصد از محدوده را شامل سازندهای آسماری، سروک، ایلام، تاربور، دریان، فهلیلان و... با شکستگی‌ها یا سیستم‌های کارستی می‌پوشانند. بخش میانی حوضه سازندهای غیر کربناته از آبرفت‌های کواترنری پوشیده شده است. نقشه زمین‌شناسی محدوده موردمطالعه در شکل ۲ نشان داده شده است.



شکل ۳: نقشه کاربری اراضی منطقه موردمطالعه

شکل ۲: نقشه زمین‌شناسی منطقه موردمطالعه

نقشه کاربری اراضی منطقه مطالعه که به روش دسته‌بندی نظارت شده تهیه شده، در شکل ۳ نشان داده شده است. کل اراضی موردمطالعه $60\frac{3}{5} / 84$ کیلومتر مربع می‌باشد که اراضی مرتعی با $3448\frac{3}{7}$ کیلومتر مربع 57 درصد بیشترین و اراضی باغی با سطحی معادل 502 کیلومتر مربع 1 درصد از اراضی منطقه موردمطالعه را به خود اختصاص داده‌اند.

روش‌های نمونه‌برداری و داده‌های منطقه موردمطالعه

نمونه‌ها پس از آماده‌سازی لازم در شرایط مناسب دمایی و در حداقل زمان ممکن به آزمایشگاه منتقل شده و تا قبل از انجام آزمایش در یخچال نگهداری شدند. نمونه‌برداری و آنالیز برای 19 پارامتر فیزیکی و شیمیایی شامل دما، روی، سرب، نیکل، مولیبden، سختی کل، نیترات، جیوه، سولفات، فسفات، سوری، مس، کروم، کلر، کادمیوم، کربنات کلسیم، آرسنیک، pH که در 4 ماه (دسامبر، آپریل و سپتامبر) انجام گرفت. سوری با شوری سنج^۱، pH با pH سنج، نیترات، سولفات، فسفات و کلر با طیف‌سنج^۲، سختی کل با Hoch ۱۵۶ Sension^۳، روی، مس، کادمیوم و الومنیوم با دستگاه جذب اتمی^۴ و کروم با شاخص SDI^۵ اندازه‌گیری شد.

در شکل ۴ موقعیت 29 محل نمونه‌برداری برای تعیین ارتباط بین صنعت و میزان آلودگی آب نشان داده شده است. نقاط نمونه‌برداری همان‌طور که در شکل هم نشان داده شده، در جهت جريان آب بر روی رودخانه اصلی تهیه شده است. شایان ذکر است که از هر نقطه سه نمونه آب تهیه و بعد از تعزیزه و تحلیل در آزمایشگاه، میانگین آنالیزها برای هر یک از پارامترها درنظر گرفته شد.



شکل ۴: موقعیت نقاط نمونه‌برداری به همراه موقعیت کارخانجات و فاضلاب‌های اطراف رودخانه کر

- 1- Conductometer
- 2- Spectrophotometric
- 3- Atomic absorption
- 4- Silt Density Index

روش کار

قبل از انجام تجزیه‌های آماری، ابتدا داده‌های حاصل از ارزیابی پارامترهای مورد مطالعه با استفاده از شاخص کلمگروف – اسپیروف از نظر نرمال و تناسب داده‌ها موردن بررسی قرار گرفت. برای این اساس یک تست برازش نرمال بودن به روش‌های پارامتری انجام گردید. سپس با اطمینان از توزیع نرمال داده‌ها جهت تجزیه و تحلیل داده‌ها از روش تجزیه به مؤلفه‌های اصلی برای تعیین سهم هر پارامتر در دسته‌بندی میزان آلودگی ایستگاه‌های پایش، کاهش حجم پارامترها و تفسیر بهتر روابط و روش WQI برای تعیین میزان آلودگی هر ایستگاه به شرح زیر استفاده شد. همچنین در ادامه با استفاده از روش زمین آمار توزیع مکانی میزان آلودگی هر یک از پارامترها در رودخانه کر بررسی شد. تمامی محاسبات آماری و ریاضی از طریق نرم‌افزارهای SPSS و MINITAB14 انجام گردید.

شاخص کیفیت آب (WQI)

پارامترهای موردنیاز و حدود بحرانی هر یک از عناصر برای تعیین شاخص کیفیت آب (WQI) در جدول ۱ گزارش شده است. از رابطه ۱ برای تعیین شاخص WQI استفاده شد (هورتون^۱ و همکاران، ۱۹۶۵، بروون^۲ و همکاران، ۱۹۷۰). در این رابطه q_i رتبه کیفیت آب را با توجه به غلظت پارامتر I نشان می‌دهد و WI فاکتور وزن می‌باشد که بستگی به اهمیت پارامتر کیفی از نظر بهداشت و سلامتی دارد. با توجه به مقدار به دست آمده برای شاخص WQI و ارجاع به جدول ۱، کیفیت آب از نظر آشامیدن مشخص شد. طبق جدول ۲، کیفیت آب را می‌توان به کلاس‌های بسیار خوب، خوب، فقیر، بسیار فقیر و نامناسب برای نوشیدن با توجه به مقادیر WQI در محدوده ۳۱ - ۰ - ۳۱، ۱۶ - ۶۱ و بالاتر از ۹۱ به ترتیب دسته‌بندی نمود (هورتون و همکاران، ۱۹۶۵، بروون و همکاران، ۱۹۷۰).

$$WQI = \frac{\sum_{i=1}^n q_i \times w_i}{\sum_{i=1}^n w_i} \quad (1)$$

برای تعیین q_i از رابطه ۲ استفاده شد. V_a مقدار پارامتر i در زمان نمونه‌برداری، V_i مقدار پارامتر i در حالت ایده‌آل و S_i مقدار پارامتر i در حالت استاندارد است. همچنین جهت محاسبه پارامتر W_i از رابطه ۳ استفاده شد. مقدار K از رابطه ۴ حاصل می‌گردد (اسدی^۳، ۲۰۰۷).

$$q_i = \frac{V_a - V_i}{S_i - V_i} \quad (2)$$

$$W_i = \frac{k}{S_i} \quad (3)$$

$$k = 1 / \sum(1 / S_i) \quad (4)$$

1- Horton

2- Brown

3- Asadi

جدول ۱: مقادیر استاندارد خصوصیات کیفی ورودی به شاخص (WHO ۲۰۱۱)

ردیف	پارامتر	حد مجاز
1	(pH unit) pH	6.5-8.5
2	NO31- (mg L-1)	50
3	PO43-(mg L-1)	0.03
4	Ni (mg L-1)	0.07
5	Cl1- (mg L-1)	400
6	Mo (mg L-1)	0.07
7	Cd (μ g L-1)	3
8	Cu (mg L-1)	1
9	Zn (mg L-1)	5
10	As (μ g L-1)	10
11	Cr III (μ g L-1)	50
12	Cr IV (μ g L-1)	50

جدول ۲: دسته‌بندی کیفیت منابع آب با توجه به شاخص WQI (ابراهو^۱ و همکاران، ۲۰۰۷)

Qualitative corresponding result	WQI range
Good	$91 \leq \text{WQI} \leq 100$
Acceptable	$61 \leq \text{WQI} < 91$
Regular	$31 \leq \text{WQI} < 61$
Bad	$16 \leq \text{WQI} < 31$
Very bad	$0 \leq \text{WQI} < 16$

شاخص ارزیابی فلزهای سنگین (HEI)

برای ارزیابی درجه آلودگی آب به فلزهای سنگین جهت مصارف شرب از شاخص ارزیابی فلزهای سنگین (HEI) استفاده شد. شاخص HEI با توجه به غلظت سنجش شده فلزهای سنگین در منطقه نسبت به حداکثر غلظت مجاز تعیین شده برای مصارف شرب، کیفیت کلی آب را ارائه می‌دهند (پراسانا^۲ و همکاران ۲۰۱۲). با محاسبه شاخص HEI می‌توان نسبت به رتبه‌بندی کلی کیفیت آب براساس آلودگی فلزهای سنگین و درک بهتر از شرایط کیفی آب اقدام کرد. شاخص HEI طبق رابطه ۵ به دست می‌آید (نایک^۳ و همکاران، ۲۰۱۳):

$$HEI = \sum_{i=1}^n \frac{H_{ci}}{H_{\max}} \quad (5)$$

که در آن HC مقدار اندازه گیری شده پارامتر i ام و H_{\max} حداکثر غلظت مجاز پارامتر i ام است.

برای این منظور هر یک از عناصر آرسنیک، مس، کادمیوم، کروم، مولیبدن، نیکل و روی در سه ماه برای هر یک از ایستگاه‌های با آلودگی زیاد میانگین‌گیری شده و بر حد بحرانی هر یک از عناصر که در جدول ۱ آمده است، تقسیم

شده و مقادیر این شاخص برای هر یک از پارامترها محاسبه گردید. در صورتی که HEI کمتر از ۱۰ باشد درجه آلودگی کم، بین ۱۰ تا ۲۰ باشد درجه آلودگی متوسط و بیشتر از ۲۰ باشد درجه آلودگی زیاد است (WHO، ۲۰۱۱).

بررسی داده‌ها از نظر مکانی

برای بررسی توزیع مکانی هر یک از پارامترها از روش کریجینگ که یکی از روش‌های زمین آمار می‌باشد، استفاده شد. در این روش مقادیر مجهول با استفاده از مقادیر معلوم و واریوگرام برآورد می‌شود. واریوگرام، مدلی ریاضی است که برای تشریح پیوستگی مکانی یک متغیر بکار می‌رود. رابطه ۶ نحوه محاسبه یک واریوگرام را نشان می‌دهد.

$$\gamma(h) = \frac{1}{2n(h)} \sum_{i=1}^{n(h)} [z(x_i) - z(x_i + h)]^2 \quad (6)$$

که در آن (γ) h مقدار نیم تغییرنما برای جفت نقاطی که به فاصله h از هم قرار دارند، n تعداد نقاط اندازه‌گیری و Z مقدار اندازه‌گیری شده متغیر در مکان x_i و $(x_i + h)$ مقدار اندازه‌گیری شده متغیری که به فاصله h از x قرار دارد. اگر نقاط در شبکه‌های منظم و با فواصل مساوی قرار داشته باشند، نیم تغییرنما بر اساس میانگین حسابی فواصل محاسبه و برآورد می‌گردد.

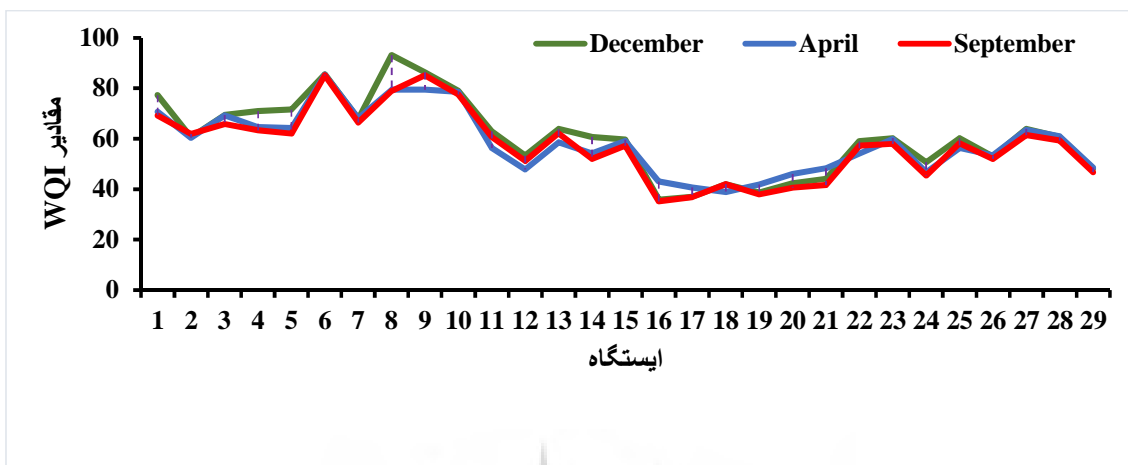
یکی از روش‌های معروف درون‌یابی کریجینگ است که بهترین تخمین‌گر خطی نالاریب نام گرفته است. این روش، یک روش تخمین زمین آماری است که با استفاده از مقادیر معلوم و یک نیم تغییرنما، مقادیر مجهول را برآورد می‌کند و بر منطق میانگین متحرک وزن دار استوار است و به صورت رابطه ۷ تعریف می‌شود:

$$z^*(x_o) = \sum_{i=1}^n \lambda_i z(x_i) \quad (7)$$

که در آن (x_0) Z^* مقدار تخمین‌زده شده متغیر در نقطه‌ی x_0 و (x_i) مقدار مشاهده شده متغیر در نقطه x_0 و λ_i وزن آماری است که به متغیر در نقطه x نسبت داده می‌شود. این پارامتر λ نشان‌دهنده مقدار اهمیت و تأثیر نقطه‌ی x_0 بر مقدار تخمین‌زده شده متغیر در نقطه x_0 است و n تعداد نقاطی است که متغیر در آن اندازه‌گیری شده است.

نتایج و بحث

باتوجه به شکل ۵ مشاهده شد که بیشتر مناطق مورد مطالعه از نظر میانگین شاخص WQI و فاصله اطمینان با سطح اطمینان ۹۵٪ در محدود کیفیت آب بد قرار گرفته است. به طور متوسط ۲۲/۷ درصد از مناطق دارای کیفیت آب در محدوده خوب، ۴۵/۵ درصد از مناطق دارای کیفیت آب در محدوده بد، ۲۲/۷ از مناطق دارای کیفیت خیلی بد و ۹/۱ درصد از مناطق دارای آب غیرقابل آشامیدن می‌باشند.



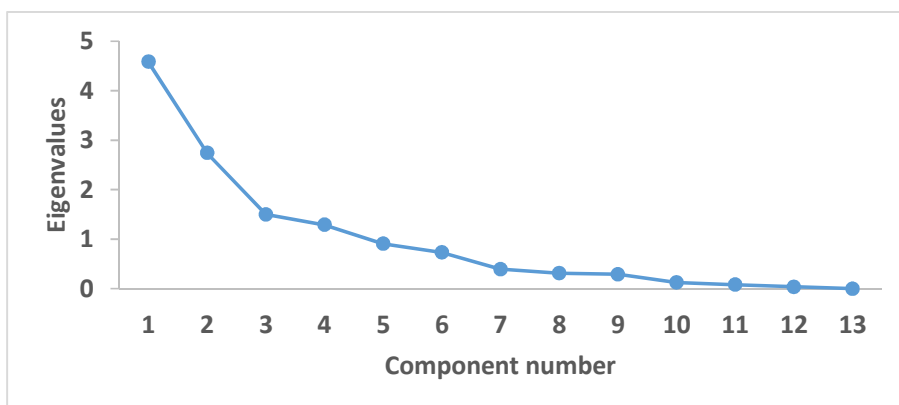
شکل ۵: مقادیر WQI برای هر یک از ایستگاه‌ها در ماه‌های مختلف

در منطقه موردمطالعه، مناطقی که شاخص WQI در وضعیت بد، خیلی بد و غیرقابل‌آشامیدن قرار دارد، تصفیه آب جهت آشامیدن بسیار ضروری می‌باشد. راماکریشنایا و همکاران (۲۰۰۹) تصفیه آب در مناطقی که دارای مقادیر کم شاخص WQI و غیرقابل‌آشامیدن بودند را یک امر ضروری معرفی کردند. در مطالعه‌ای رضا^۱ و سینق^۲ (۲۰۱۰) شاخص WQI برای فصل تابستان و فصل پس از باران‌های موسمی به ترتیب مقادیر ۱۴-۵۷ و ۶۷-۱۹ به دست آورده‌اند که علت این تفاوت در شاخص WQI بالایودن میزان جامدات محلول در طی فصل باران‌های موسمی نسبت به تابستان گزارش گردید و همچنین در این مطالعه تصفیه برای منابع آبی با شاخص WQI بالاتر از ۵۰ را ضروری دانستند.

نتایج PCA

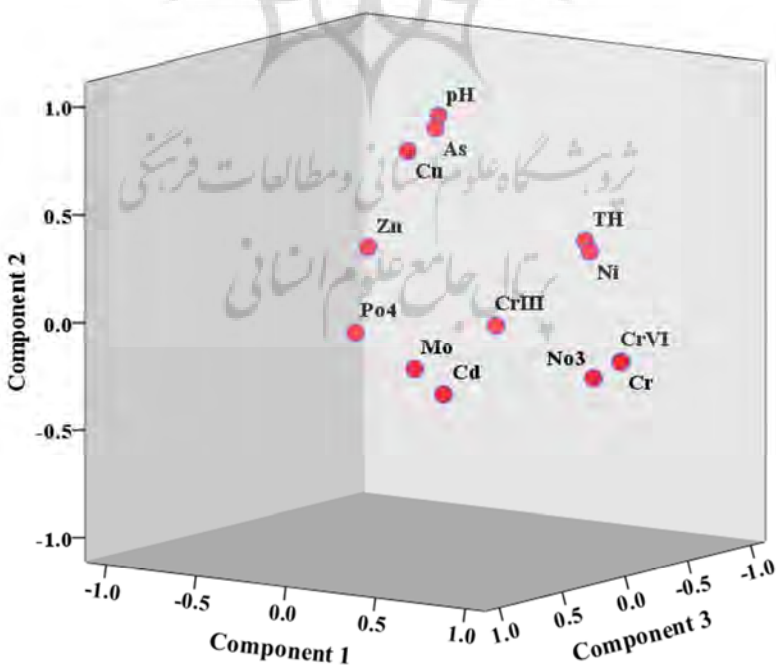
نتایج نشان داد که PCA ۱۳ مؤلفه را معرفی می‌کند که مؤلفه‌های اول و دوم مؤلفه‌های اصلی بوده و در مجموع ۵۶/۳۷ % تغییرات ویژه را بیان می‌کنند. مؤلفه اول ۳۵/۲۸٪ تغییرات را نشان می‌دهد و شامل کروم ۵ و کروم کل می‌باشد، مؤلفه دوم نیز ۲۱/۱۰٪ تغییرات را نشان می‌دهد و شامل مس و pH است. درصد تغییرات بیان شده برای ایستگاه‌های مختلف که در شکل ۶ نشان داده شده است.

¹ Reza
² Singh



شکل ۶: درصد تغییرات بیان شده توسط ۱۳ مولفه

توزیع شماتیک وزن عناصر مختلف در مولفه‌های اول و دوم در شکل ۷ آمده است. همان‌طور که در شکل ۷ مشاهده می‌شود عناصر کروم ۵ و کروم کل که در بیشترین فاصله از این خط قرار دارند، دارای بیشترین وزن در مولفه اول بوده و بیشترین تغییرپذیری عناصر آلوده در منطقه را توجیه می‌نمایند. در مقابل عناصر روی و فسفات که دارای نزدیک‌ترین فاصله به خط مزبور هستند کمترین تغییرپذیری را در مولفه اول توجیه کرده که در جدول ۳ نیز لحاظ شده‌اند.



شکل ۷: توزیع شماتیک وزن عناصر مختلف در مولفه‌های اول و دوم و سوم

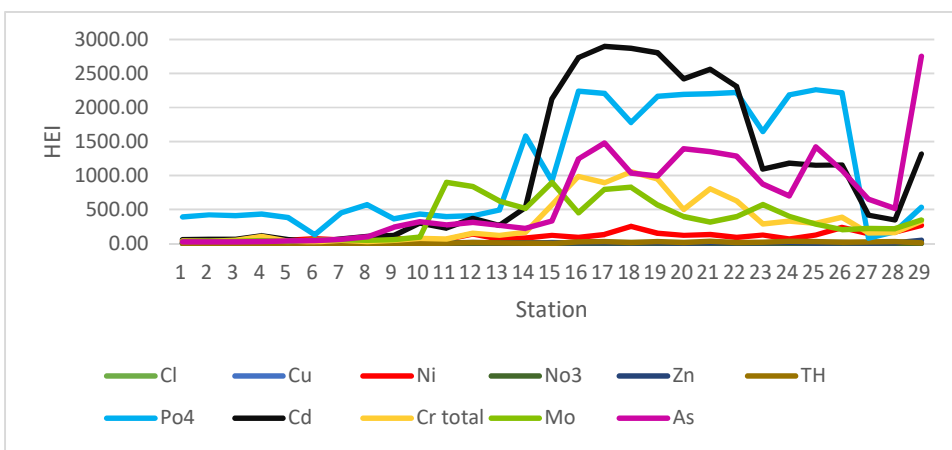
جدول ۳: مقادیر مولفه‌های اول تا چهارم

Parameters	Component			
	1	2	3	4
pH	-.016	.891	-.126	-.005
Po4	-.413	-.141	-.034	.591
No3	.884	-.230	-.075	.163
As	.089	.867	.047	.033
Cd	.590	-.222	.696	.054
Cr total	.917	-.175	-.246	.102
CrII	.278	-.057	-.165	.698
CrVI	.917	-.175	-.245	.096
Cu	.140	.809	.340	.119
Mo	.491	-.102	.786	-.053
Ni	.857	.354	-.084	-.014
Zn	-.212	.301	.152	.575
TH	.692	.359	-.284	-.241

نتایج شاخص HEI

شکل ۸ مقادیر HEI را برای ایستگاه‌های مختلف نشان می‌دهد. با توجه به شکل ۸ مشخص می‌شود که ایستگاه ۱۶ و ۱۷ (همان‌طورکه در شکل ۴ موقعیت این ایستگاه‌ها نشان داده شده است) دارای بیشترین مقادیر شاخص HEI هستند که نشان‌دهنده آلودگی بیشتر می‌باشد. همچنین مشخص می‌شود که مقادیر آرسنیک و کادمیوم نسبت به دیگر عناصر دارای مقادیر خیلی بیشتری نسبت به حد مجاز در آب آشامیدنی است که بیانگر آلودگی آب توسط این دو عنصر خصوصاً در ایستگاه‌های مجاور با کارخانه‌ها (ایستگاه‌های ۱۶-۲۵) است. منشاء اصلی ورود این عناصر به آب رودخانه و آلودگی آن از کارخانه‌های مجاور می‌باشد. همان‌طورکه در شکل ۴ نشان داده شده است، کارخانه پتروشیمی، قند، آزمایش و آرد در مجاور ایستگاه‌های ۱۶ تا ۲۵ می‌باشند که منجر به آلودگی شدید آب در این نواحی از رودخانه شده‌اند.

باتوجه به رده‌بندی کیفیت آب براساس شاخص HEI طبق شکل ۸ مشخص می‌شود که همه پارامترها بجز سختی کل، کلر، روی، نیکل مقادیری بیشتر از حد مجاز دارند و نشان‌دهنده آلودگی آب توسط این پارامترها می‌باشد و توسط آزمون PCA نیز مشخص شد که سختی کل، کلر، روی، نیکل دارای تأثیر کمتری در آلودگی آب هستند.



شکل ۸: مقادیر شاخص HEI برای هر یک ایستگاهها

بررسی ویژگی‌های مکانی بهروش کریجینگ

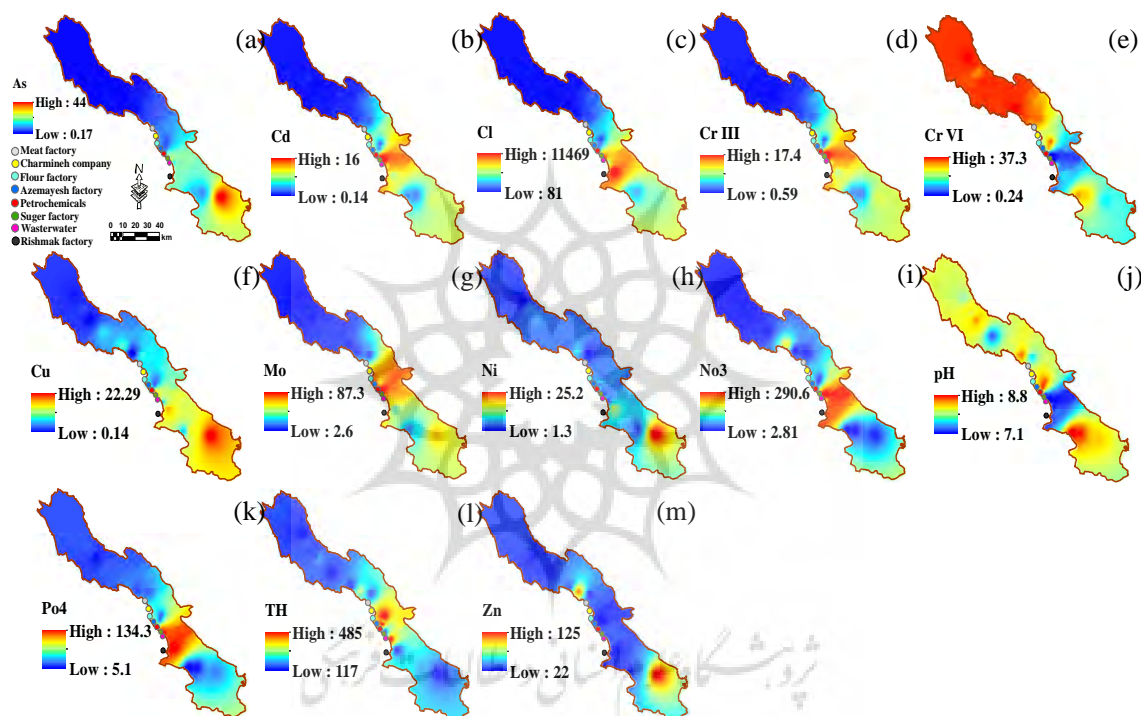
برای برآورد بهترین مدل بر روی واریوگرام تجربی از میزان RSS کمتر و استحکام ساختار فضایی قوی‌تر استفاده شد. همچنین جدول ۴ الگو مناسب برآورد شده بر روی واریوگرام و عامل‌های مربوطه را نشان می‌دهد. نسبت اثر قطعه‌ای به آستانه را می‌توان برای ارزیابی ساختار مکانی داده‌ها موردنظری قرار داد. ولی این نسبت اگر کمتر از ۰/۲۵ باشد متغیر موردنظر دارای ساختار مکانی قوی می‌باشد. بین ۰/۷۵ تا ۰/۲۵ ساختار مکانی متوسط و بزرگ‌تر از ۰/۷۵ ساختار فضایی ضعیف است. با توجه به جدول ۴، نسبت اثر قطعه‌ای به آستانه ۱ به عنوان مهمترین معیار برای تعیین بهترین الگو برای تعیین نقشه پهن‌بندی استفاده شد.

جدول ۴: بهترین الگو برآورد شده به واریوگرام و عامل‌های مربوط به آن

Parameter	الگو	C0	C0+C	C0/C0+C	R2	RSS
Ph	Spherical	0.38	0.61	0.623	0.71	0.01
No3	Spherical	0.001	0.41	0.002	0.53	0.13
Po4	Spherical	0.23	0.81	0.284	0.81	0.17
Ni	Circular	0.35	1.04	0.337	0.82	0.13
Cl	Exponential	0.31	1.27	0.244	0.71	0.19
Mo	Circular	0.12	0.83	0.145	0.83	0.17
Th	Circular	0.27	1.27	0.213	0.78	0.13
Cd	Circular	0.01	0.78	0.013	0.79	0.18
Cu	Circular	0.07	1.13	0.062	0.98	0.01
Zn	Circular	0.01	0.87	0.011	0.78	0.19
As	Spherical	0.21	0.63	0.333	0.76	0.06
Cr III	Spherical	0.34	0.99	0.343	0.93	0.015
Cr VI	Spherical	0.21	0.74	0.284	0.85	0.2
Cr Total	Spherical	0.01	0.67	0.015	0.74	0.26

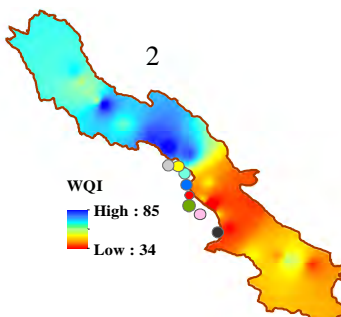
¹- C0/C0+C

برای برآورد کیفیت آب از بین روش‌های زمین آمار از روش کوکریجینگ به علت دقت بالاتر استفاده شد. با توجه به شکل ۹ مشخص می‌شود که روند تغییرات عامل‌های مؤثر در کیفیت آب تقریباً مشابه است. بیشترین تجمع غلظت مربوط به قسمت‌های مرکز و جنوب در مجاورت کارخانه‌های منطقه موردمطالعه می‌باشد. همان‌طور که در شکل ۹ نشان داده شده است، مقادیر کروم، کلر، کادمیوم، مولیبدن، نیترات، فسفات و سختی کل در نزدیکی ایستگاه‌های ۱۶ تا ۲۵ بیشتر از دیگر مناطق می‌باشد که نشان‌دهنده آلودگی آب با این عناصر توسط کارخانه‌های مجاور می‌باشد.



شکل. ۹: نقشه پهنه‌بندی هر یک از عناصر سنگین

درنهایت نقشه پهنه‌بندی آلودگی برای هر یک از پارامترها تهیه شد که در شکل ۱۰ نشان داده شده است. در انتهای نقشه پهنه‌بندی برای WQI تهیه گردید که در شکل ۱۰ نشان داده شده است. با توجه به شکل ۱۰ مشخص می‌شود که مناطق پایین‌دست (مجاور کارخانه‌ها) دارای مقادیر WQI کمتری نسبت به مناطق بالادست دارد که نشان‌دهنده آلودگی بیشتری می‌باشد. در کل مناطق بالادست منطقه موردمطالعه دارای مقادیر بیشتری نسبت به مناطق پایین‌دست است و در نتیجه دارای آلودگی کمتری می‌باشد.



شکل ۱۰: توزیع مکانی مقادیر WQI در منطقه مورد مطالعه

نتیجه‌گیری

نتایج این مطالعه نشان می‌دهد که کیفیت آب رودخانه کر بهشت تحت تأثیر صنایع مختلفی که در اطراف آن قرار دارند می‌باشد. به طوری که در بخش‌های مرکزی و جنوبی میزان آلودگی زیاد است. همچنین نتایج نشان می‌دهد که آلودگی این رودخانه در سال ۲۰۱۶ افزایش چشمگیری در محدوده کارخانه‌ها داشته است؛ به طوری که مقادیر کلر، کادمیوم، کروم ۳، مس، مولیبدن، فسفات، آرسنیک و نیکل افزایش یافته است که علت آن را می‌توان تراکم مراکز صنعتی از جمله پتروشیمی، مجتمع گوشت، کارخانه چرمینه، اراضی کشاورزی حاشیه رودخانه، زهکش‌های کشاورزی شبکه آبیاری دانست که منجر به آلودگی بیشتر رودخانه گردیده است. همچنین تخلیه فاضلاب‌های شهری و رستایی منجر به آلودگی رودخانه کر مخصوصاً در ایستگاه‌های ۱۶ تا ۲۵ شده است. همچنین بر اثر مشخص نبودن بستر و حریم قانونی این رودخانه، کشت در محدوده حریم رودخانه منجر به افزایش املاح و یون‌های فسفات و نیترات در این رودخانه شده است. شایان ذکر است که با توجه به اینکه طبق نتایج تجزیه مؤلفه‌های اصلی عناصر کادمیوم، کلر، نیترات، کروم ۵، کروم کل، فسفات و کروم ۳ مهمترین عناصر آلودگی آب انتخاب شدند. می‌توان نتیجه گرفت که استفاده بیش از حد از کودهای شیمیایی برای اراضی کشاورزی و فعالیت کارخانه‌های پتروشیمی، فاضلاب، کارخانه قند منجر به آلودگی آب منطقه مورد مطالعه شده‌اند. بنابراین با تعریف حریم قانونی برای رودخانه و جلوگیری از کشت در این حریم و همچنین جلوگیری از واردشدن پساب این کارخانه‌ها در رودخانه کر می‌توان از آلودگی آب و از بین‌رفتن آبزیان در منطقه جلوگیری نمود.

منابع

- Abrahão, R., Carvalho, M., Da Silva Jr, W. R., Machado, T., Gadelha, C., & Hernandez, M. (2007). Use of index analysis to evaluate the water quality of a stream receiving industrial effluents. *Water SA*, 33(4). DOI: [10.4314/wsa.v33i4.52940](https://doi.org/10.4314/wsa.v33i4.52940).
- Adams, S., Titus, R., Pietersen, K., Tredoux, G., & Harris, C. (2001). Hydrochemical characteristics of aquifers near Sutherland in the Western Karoo, South Africa. *Journal of hydrology*, 241(1-2), 91-103. [https://doi.org/10.1016/S0022-1694\(00\)00370-X](https://doi.org/10.1016/S0022-1694(00)00370-X).
- Andrade, E. M. D., Lopes, F. B., Palácio, H. A. Q., Aquino, D. D. N., & Alexandre, D. M. B. (2010). Land use and groundwater quality: the case of Baixo Acaraú Irrigated Perimeter, Brazil. *Revista Ciência Agronômica*, 41(2), 208-215. <https://doi.org/10.1590/S1806-66902010000200006>.
- Asadi, S. S., Vuppala, P., & Reddy, M. A. (2007). Remote sensing and GIS techniques for evaluation of groundwater quality in municipal corporation of Hyderabad (Zone-V), India. *International journal of environmental research and public health*, 4(1), 45-52. <https://doi.org/10.3390/ijerph2007010008>.
- Astel, A., Biziuk, M., Przyjazny, A., & Namieśnik, J. (2006). Chemometrics in monitoring spatial and temporal variations in drinking water quality. *Water Research*, 40(8), 1706-1716. <https://doi.org/10.1016/j.watres.2006.02.018>.

- Baghvand, A., Nasrabadi, T., Bidhendi, G. N., Vosoogh, A., Karbassi, A., & Mehrdadi, N. (2010). Groundwater quality degradation of an aquifer in Iran central desert. Desalination, 260(1-3), 264-275. <https://doi.org/10.1016/j.desal.2010.02.038>.
- Bhargava, D. S. (1983). Use of water quality index for river classification and zoning of Ganga River. Environmental Pollution Series B, Chemical and Physical, 6(1), 51-67. [https://doi.org/10.1016/0143-148X\(83\)90029-0](https://doi.org/10.1016/0143-148X(83)90029-0).
- Boyacioglu, H., & Boyacioglu, H. (2008). Water pollution sources assessment by multivariate statistical methods in the Tahtali Basin, Turkey. Environmental Geology, 54(2), 275-282. <https://doi.org/10.1007/s00254-007-0815-6>.
- Brown, R. M., McClelland, N. I., Deininger, R. A., & Tozer, R. G. (1970). A WATER QUALITY INDEX- DO WE DARE. Works 117, 339–343.
- Burgess, G. L. (2015). Effects of Heavy Metals on Benthic Macroinvertebrates in the Cordillera Blanca, Peru., WWU Master Thesis Collection, 414 pp.
- Edmunds, W. M., Carrillo-Rivera, J. J., & Cardona, A. (2002). Geochemical evolution of groundwater beneath Mexico City. Journal of Hydrology, 258(1-4), 1-24. [https://doi.org/10.1016/S0022-1694\(01\)00461-9](https://doi.org/10.1016/S0022-1694(01)00461-9).
- Haffar, M., Ahmadi, M. R., & Yahyavi, M. (2010). Bioassessment of Kor river (Fars province) in different seasons by use Community Structure Macrobenthic. *JOURNAL OF AQUATIC ANIMALS & FISHERIES*, 21-34.
- Horton, R. K. (1965). An index number system for rating water quality. Journal of Water Pollution Control Federation, 37(3), 300-306.
- House, M. A., & Ellis, J. B. (1987). The development of water quality indices for operational management. Water Science and Technology, 19(9), 145-154. <https://doi.org/10.2166/wst.1987.0076>.
- Huang, F., Wang, X., Lou, L., Zhou, Z., & Wu, J. (2010). Spatial variation and source apportionment of water pollution in Qiantang River (China) using statistical techniques. Water research, 44(5), 1562-1572. <https://doi.org/10.1016/j.watres.2009.11.003>.
- Milovanovic, M. (2007). Water quality assessment and determination of pollution sources along the Axios/Vardar River, Southeastern Europe. Desalination, 213(1-3), 159-173. <https://doi.org/10.1016/j.desal.2006.06.022>.
- Nayek, S., Gupta, S., & Saha, R. N. (2013). Heavy metal distribution and chemical fractionation in water, suspended solids and bed sediments of industrial discharge channel: an implication to ecological risk. Res J Chem Environ, 17(6), 26-33.
- Pal, A., Ri, A. K., & Zaidi, J. (2013). Water quality index (WQI) of three historical lakes in Mahoba District of Bundelkhand Region, Uttar Pradesh, India. Asian Journal of Science and Technology, 4(10), 048-053.
- Prasanna, M. V., Praveena, S. M., Chidambaram, S., Nagarajan, R., & Elayaraja, A. (2012). Evaluation of water quality pollution indices for heavy metal contamination monitoring: a case study from Curtin Lake, Miri City, East Malaysia. Environmental Earth Sciences, 67(7), 1987-2001. DOI: [10.1007/s12665-012-1639-6](https://doi.org/10.1007/s12665-012-1639-6).
- Ramakrishnaiah, C. R., Sadashivaiah, C., & Ranganna, G. (2009). Assessment of water quality index for the groundwater in Tumkur Taluk, Karnataka State, India. Journal of Chemistry, 6(2), 523-530. <https://doi.org/10.1155/2009/757424>.
- Rao, N. S. (2006). Seasonal variation of groundwater quality in a part of Guntur District, Andhra Pradesh, India. Environmental Geology, 49(3), 413-429. <https://doi.org/10.1007/s00254-005-0089-9>.
- Reza, R., & Singh, G. (2010). Assessment of ground water quality status by using water quality index method in Orissa, India. World Applied Sciences Journal, 9(12), 1392-1397.
- Saha, P., & Paul, B. (2019). Assessment of heavy metal toxicity related with human health risk in the surface water of an industrialized area by a novel technique. Human and Ecological Risk Assessment: An International Journal, 25(4), 966-987. <https://doi.org/10.1080/10807039.2018.1458595>.
- Sánchez, E., Colmenarejo, M. F., Vicente, J., Rubio, A., García, M. G., Travieso, L., & Borja, R. (2007). Use of the water quality index and dissolved oxygen deficit as simple indicators of watersheds pollution. Ecological indicators, 7(2), 315-328. <https://doi.org/10.1016/j.ecolind.2006.02.005>.
- Shrestha, S., & Kazama, F. (2007). Assessment of surface water quality using multivariate statistical techniques: A case study of the Fuji river basin, Japan. Environmental Modelling & Software, 22(4), 464-475. <https://doi.org/10.1016/j.envsoft.2006.02.001>.
- Singh, K. P., Malik, A., & Sinha, S. (2005). Water quality assessment and apportionment of pollution sources of Gomti river (India) using multivariate statistical techniques—a case study. Analytica Chimica Acta, 538(1-2), 355-374. <https://doi.org/10.1016/j.aca.2005.02.006>.
- Varol, S., & Davraz, A. (2015). Evaluation of the groundwater quality with WQI (Water Quality Index) and multivariate analysis: a case study of the Tefenni plain (Burdur/Turkey). Environmental Earth Sciences, 73(4), 1725-1744. DOI: [10.1007/s12665-014-3531-z](https://doi.org/10.1007/s12665-014-3531-z).
- Vega, M., Pardo, R., Barrado, E., & Debán, L. (1998). Assessment of seasonal and polluting effects on the quality of river water by exploratory data analysis. Water research, 32(12), 3581-3592. [https://doi.org/10.1016/S0043-1354\(98\)00138-9](https://doi.org/10.1016/S0043-1354(98)00138-9).
- WHO. Guidelines for Drinking-water Quality. 4th ed. Geneva: World Health Organization; 2011.
- Wijesiri, B., Liu, A., He, B., Yang, B., Zhao, X., Ayoko, G., & Goonetilleke, A. (2019). Behaviour of metals in an urban river and the pollution of estuarine environment. Water research, 164, 114911. <https://doi.org/10.1016/j.watres.2019.114911>.

Research Article

Investigation and zoning of pollution impact of contaminated water of Kor River

Marziyeh mokarram¹, Saeed Negahban^{*2}, Vahideh shaykhi³

1. Associate Professor of Geomorphology, Faculty of agricultural, Shiraz University, Shiraz, Iran.

2*. Assistant Professor of Geomorphology, Department of Geography, Shiraz University, Shiraz, Iran.

3. M.A in Geohydrology, Department of Earth Sciences, Shiraz University, Shiraz, Iran

Received: 30-03-2020

Final Revised: 09-08-2020

Accepted: 14-11-2020

Abstract

Water pollution has always been one of the environmental issues around the globe. Among the surface and underground waters, running water and rivers are constantly exposed to more pollution due to the crossing of different areas. The purpose of this study was to evaluate the water quality of Kor River in south of Iran and determine the source of contamination by different factories located nearby. Maternal sample in 2016 on 14 physical and chemical parameters, December 3, April and September). 29 stations completed. Principal Component Analysis (PCA) determined the most important parameters affecting water pollution, and WQI and HEI indices determined the contamination status of each site according to the permissible limits in the river water, and finally, using Kriging method. The spatial distribution of elements in adjacent factories was investigated. The results of the measurements using Principal Component Analysis (PCA) showed that PCA introduces 13 components. The average of the lowest WQI index at station 17 was 0.9 ± 5.0 with non-food quality and highest value at station 6 with mean 87.3 ± 2.0 with good drinking status. Results from HEI showed that stations 16 and 17 had the highest values of HEI index indicating the most polluted stations. The results of the HEI showed that the values of As, Cd were much higher than the permissible limit in drinking water. Finally, the results of heavy metal zoning maps using Kriging method showed that the highest concentration accumulation was related to the central and southern parts adjacent to the factories in the study area.

Keywords: Water pollution, principal component analysis, WQI index, HEI index, water quality and heavy elements.

* Corresponding Author Email: Snegahban@ shirazu.ac.ir

References

- Abrahão, R., Carvalho, M., Da Silva Jr, W. R., Machado, T., Gadelha, C., & Hernandez, M. (2007). Use of index analysis to evaluate the water quality of a stream receiving industrial effluents. *Water SA*, 33(4). DOI: [10.4314/wsa.v33i4.52940](https://doi.org/10.4314/wsa.v33i4.52940).
- Adams, S., Titus, R., Pietersen, K., Tredoux, G., & Harris, C. (2001). Hydrochemical characteristics of aquifers near Sutherland in the Western Karoo, South Africa. *Journal of hydrology*, 241(1-2), 91-103. [https://doi.org/10.1016/S0022-1694\(00\)00370-X](https://doi.org/10.1016/S0022-1694(00)00370-X).
- Andrade, E. M. D., Lopes, F. B., Palácio, H. A. Q., Aquino, D. D. N., & Alexandre, D. M. B. (2010). Land use and groundwater quality: the case of Baixo Acaraú Irrigated Perimeter, Brazil. *Revista Ciência Agronômica*, 41(2), 208-215. <https://doi.org/10.1590/S1806-66902010000200006>.
- Asadi, S. S., Vuppala, P., & Reddy, M. A. (2007). Remote sensing and GIS techniques for evaluation of groundwater quality in municipal corporation of Hyderabad (Zone-V), India. *International journal of environmental research and public health*, 4(1), 45-52. <https://doi.org/10.3390/ijerph2007010008>.
- Astel, A., Biziuk, M., Przyjazny, A., & Namieśnik, J. (2006). Chemometrics in monitoring spatial and temporal variations in drinking water quality. *Water Research*, 40(8), 1706-1716. <https://doi.org/10.1016/j.watres.2006.02.018>.
- Baghvand, A., Nasrabadi, T., Bidhendi, G. N., Vosoogh, A., Karbassi, A., & Mehrdadi, N. (2010). Groundwater quality degradation of an aquifer in Iran central desert. *Desalination*, 260(1-3), 264-275. <https://doi.org/10.1016/j.desal.2010.02.038>.
- Bhargava, D. S. (1983). Use of water quality index for river classification and zoning of Ganga River. *Environmental Pollution Series B, Chemical and Physical*, 6(1), 51-67. [https://doi.org/10.1016/0143-148X\(83\)90029-0](https://doi.org/10.1016/0143-148X(83)90029-0).
- Boyacioglu, H., & Boyacioglu, H. (2008). Water pollution sources assessment by multivariate statistical methods in the Tahtali Basin, Turkey. *Environmental Geology*, 54(2), 275-282. <https://doi.org/10.1007/s00254-007-0815-6>.
- Brown, R. M., McClelland, N. I., Deininger, R. A., & Tozer, R. G. (1970). A WATER QUALITY INDEX- DO WE DARE. *Works* 117, 339–343.
- Burgess, G. L. (2015). Effects of Heavy Metals on Benthic Macroinvertebrates in the Cordillera Blanca, Peru., WWU Master Thesis Collection, 414 pp.
- Edmunds, W. M., Carrillo-Rivera, J. J., & Cardona, A. (2002). Geochemical evolution of groundwater beneath Mexico City. *Journal of Hydrology*, 258(1-4), 1-24. [https://doi.org/10.1016/S0022-1694\(01\)00461-9](https://doi.org/10.1016/S0022-1694(01)00461-9).
- Haffar, M., Ahmadi, M. R., & Yahyavi, M. (2010). Bioassessment of Kor river (Fars province) in different seasons by use Community Structure Macrobenthic. *JOURNAL OF AQUATIC ANIMALS & FISHERIES*, 21-34.
- Horton, R. K. (1965). An index number system for rating water quality. *Journal of Water Pollution Control Federation*, 37(3), 300-306.
- House, M. A., & Ellis, J. B. (1987). The development of water quality indices for operational management. *Water Science and Technology*, 19(9), 145-154. <https://doi.org/10.2166/wst.1987.0076>.
- Huang, F., Wang, X., Lou, L., Zhou, Z., & Wu, J. (2010). Spatial variation and source apportionment of water pollution in Qiantang River (China) using statistical techniques. *Water research*, 44(5), 1562-1572. <https://doi.org/10.1016/j.watres.2009.11.003>.
- Milovanovic, M. (2007). Water quality assessment and determination of pollution sources along the Axios/Vardar River, Southeastern Europe. *Desalination*, 213(1-3), 159-173. <https://doi.org/10.1016/j.desal.2006.06.022>.
- Nayek, S., Gupta, S., & Saha, R. N. (2013). Heavy metal distribution and chemical fractionation in water, suspended solids and bed sediments of industrial discharge channel: an implication to ecological risk. *Res J Chem Environ*, 17(6), 26-33.
- Pal, A., Ri, A. K., & Zaidi, J. (2013). Water quality index (WQI) of three historical lakes in Mahoba District of Bundelkhand Region, Uttar Pradesh, India. *Asian Journal of Science and Technology*, 4(10), 048-053.
- Prasanna, M. V., Praveena, S. M., Chidambaram, S., Nagarajan, R., & Elayaraja, A. (2012). Evaluation of water quality pollution indices for heavy metal contamination monitoring: a case study from Curtin Lake, Miri City, East Malaysia. *Environmental Earth Sciences*, 67(7), 1987-2001. DOI: [10.1007/s12665-012-1639-6](https://doi.org/10.1007/s12665-012-1639-6).
- Ramakrishnaiah, C. R., Sadashivaiah, C., & Ranganna, G. (2009). Assessment of water quality index for the groundwater in Tumkur Taluk, Karnataka State, India. *Journal of Chemistry*, 6(2), 523-530. <https://doi.org/10.1155/2009/757424>.
- Rao, N. S. (2006). Seasonal variation of groundwater quality in a part of Guntur District, Andhra Pradesh, India. *Environmental Geology*, 49(3), 413-429. <https://doi.org/10.1007/s00254-005-0089-9>.
- Reza, R., & Singh, G. (2010). Assessment of ground water quality status by using water quality index method in Orissa, India. *World Applied Sciences Journal*, 9(12), 1392-1397.
- Saha, P., & Paul, B. (2019). Assessment of heavy metal toxicity related with human health risk in the surface water of an industrialized area by a novel technique. *Human and Ecological Risk Assessment: An International Journal*, 25(4), 966-987. <https://doi.org/10.1080/10807039.2018.1458595>.
- Sánchez, E., Colmenarejo, M. F., Vicente, J., Rubio, A., García, M. G., Travieso, L., & Borja, R. (2007). Use of the water quality index and dissolved oxygen deficit as simple indicators of watersheds pollution. *Ecological indicators*, 7(2), 315-328. <https://doi.org/10.1016/j.ecolind.2006.02.005>.
- Shrestha, S., & Kazama, F. (2007). Assessment of surface water quality using multivariate statistical techniques: A case study of the Fuji river basin, Japan. *Environmental Modelling & Software*, 22(4), 464-475. <https://doi.org/10.1016/j.envsoft.2006.02.001>.
- Singh, K. P., Malik, A., & Sinha, S. (2005). Water quality assessment and apportionment of pollution sources of Gomti river (India) using multivariate statistical techniques—a case study. *Analytica Chimica Acta*, 538(1-2), 355-374. <https://doi.org/10.1016/j.aca.2005.02.006>.

- Varol, S., & Davraz, A. (2015). Evaluation of the groundwater quality with WQI (Water Quality Index) and multivariate analysis: a case study of the Tefenni plain (Burdur/Turkey). *Environmental Earth Sciences*, 73(4), 1725-1744. DOI: [10.1007/s12665-014-3531-z](https://doi.org/10.1007/s12665-014-3531-z).
- Vega, M., Pardo, R., Barrado, E., & Debán, L. (1998). Assessment of seasonal and polluting effects on the quality of river water by exploratory data analysis. *Water research*, 32(12), 3581-3592. [https://doi.org/10.1016/S0043-1354\(98\)00138-9](https://doi.org/10.1016/S0043-1354(98)00138-9).
- WHO. Guidelines for Drinking-water Quality. 4th ed. Geneva: World Health Organization; 2011.
- Wijesiri, B., Liu, A., He, B., Yang, B., Zhao, X., Ayoko, G., & Goonetilleke, A. (2019). Behaviour of metals in an urban river and the pollution of estuarine environment. *Water research*, 164, 114911. <https://doi.org/10.1016/j.watres.2019.114911>.

